

Le champ magnétique de la Terre

structures de treillis du champ magnétique terrestre

Impressum

Copyright © Klaus Piontzik



Version allemande

11 - Global Grilles / Grilles planétaire

11.1 - Hartmann, Wittmann, Curry et Benker

Au début des années 50 Dr. med. **Ernst Hartmann** décrit un système de grille énergétique sur la surface de la terre. Expériences détaillées, en plus peuvent être trouvés dans le livre "maladie en tant que problème de localisation". Hartmann a parlé d'un **réseau mondial**, il est aujourd'hui plus connu sous le nom **de Hartmann-grille** et est utilisé dans la radiesthésie, la biologie de la construction, la géobiologie et aussi en partie dans l'architecture. Les soi-disant **bandes irritants** ou-zones (stress bande) de 20 cm de largeur se déroulent dans le nord-sud-direction magnétique à environ 2 mètres de distance et dans la direction est-ouest, avec environ 2,5 mètre de distance.

autre grille, plus tôt également **grille diagonale** appelé, a été décrite entre 1945 et 1951 par **Siegfried Wittmann** premier. La publication fait connu est venu en 1952 du Dr **Manfred Curry** qui n'a pas mentionné le nom Wittmann, cependant. Aujourd'hui, donc, il est surtout appelé simplement **Curry-grille** ou encore **Curry-net**. Il procède du NE au SW et du NO au SE. En outre, la mesure de la grille représente environ 3,6 m x 3,6 m. **Anton Benker** découvert en 1953 que la surface de la terre et de l'ensemble de l'espace situé au-dessus divise en champs cubes avec la distance de 10 mètres. Le **système de cube Benker** (Benker système cubique) est généralement considéré comme un système supérieur à la Hartmann-grille.

(voir en plus aussi «la radiologie avec le système de cube Benker" de Anton Benker)

Les généralement les relations suivantes sont données: En est- direction ouest: 1 Benker = 4 Hartmann Dans le sens Nord-Sud: 1 Benker = 5 Hartmann

11.1.1 - La tentative de Hartmann

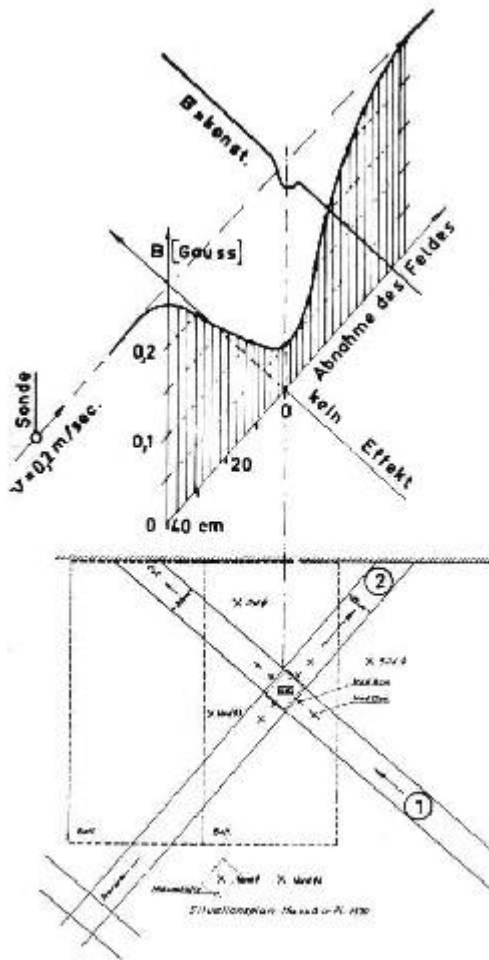


Photo 11.1 montre une expérience, que Hartmann effectuée avec un capteur magnétique (sonde de Hall) en un point de la grille en croix. La sonde a été déplacé une fois dans le nord-sud et est-ouest en direction et, en outre, la densité de flux magnétique a été déterminée. Dans le nord-sud-direction un minimum clairement reconnaissable est à voir dans la densité de flux magnétique. En est-ouest direction l'écart est minime.

(Voir en outre son livre "la maladie comme un problème de localisation» à la page 457 Illustration 263)

Avec son expérience de capteur à effet Hall Hartmann a rencontré la structure d'oscillation du phénomène de la grille sans reconnaître toutefois ., les conséquences

Si Hartmann était capable de détecter un minimum de champ magnétique, à la place d'un point de croisement, la conséquence est que ici une rangée de minima existent - les causes de la grille. Ensuite, entre le minima, cependant, maxima existent également. Et un sequenece des minima et des maxima est une **oscillation** .

Illustration 11.1 - L'expérience de Hartmann avec un capteur magnétique

Avec sa tentative salle sonde Hartmann a apporté la preuve de la connexion du phénomène de la grille avec la partie de zone du champ magnétique de la terre.

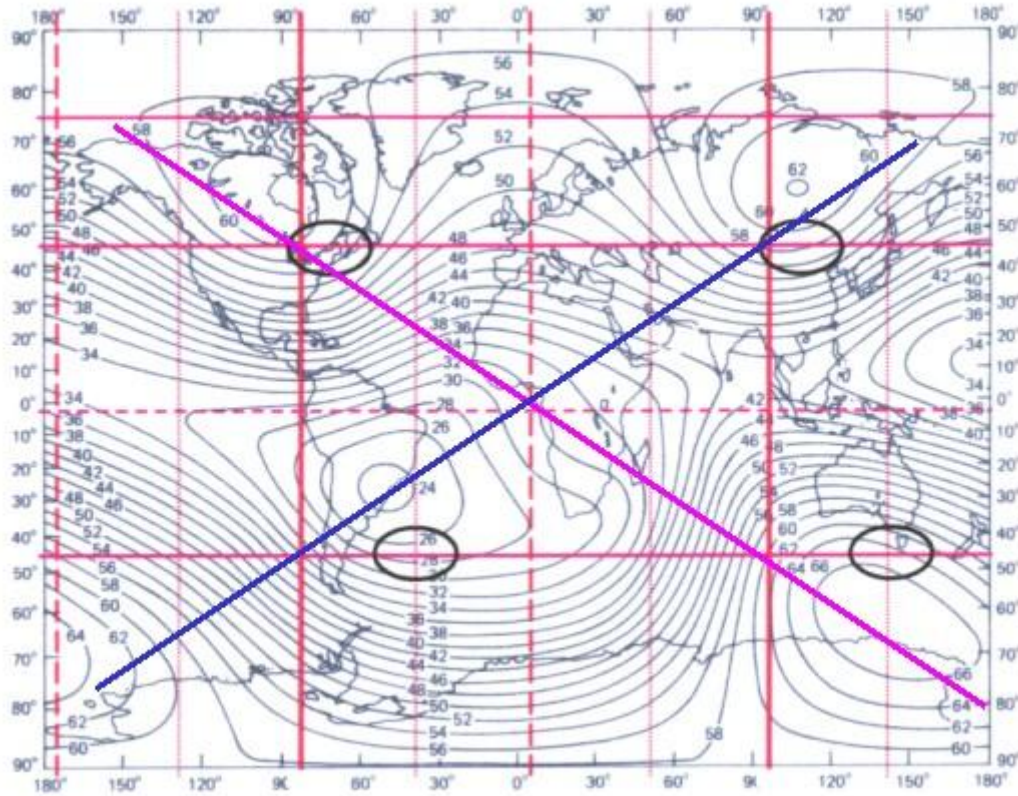
Konsequenz:

Il existe une relation entre Hartmann-grille et le champ magnétique terrestre

La conséquence du **modèle de champ de base** et l' **analyse de Fourier** , la partie tesséraux du champ magnétique terrestre est constituée de champs de base, c'est à dire principalement des structures de grille, qui sont similaires à la grille-Hartmann. La conséquence est la suivante:

Les grilles sont états d'oscillation régulière du champ magnétique de la terre avec une certaine fréquence
Il existe plusieurs structures réticulaires entre lesquelles existent les relations harmoniques

Connexion Curry-Benker - 11.1.2

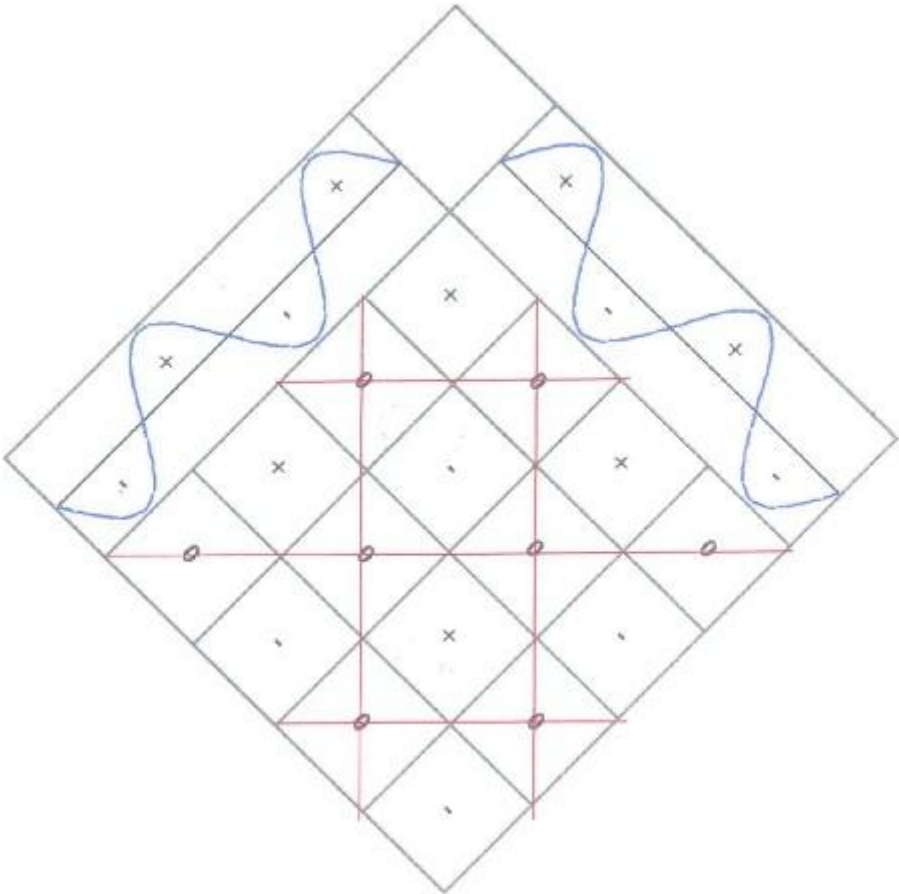


La photo montre une fois de plus Huygens zones sources déterminées du champ tesséaux (noir) avec le méridien magnétique principal (rouge verticale) de la partie sektorial (ou la grille ZS). Voir en outre [le chapitre 9](#) . L'bleue et la ligne magenta montrent l'(mathématique) lien théorique entre les points de source idéale si l'on applique le principe de Huygens au champ magnétique de la terre. Le système Benker-cube (réseau Hartman) est couplée avec la terre- la structure d'oscillation magnétique (rouge) en direction nord-sud. Le filet de curry se trouve en diagonale vers la Benkersytem et dans le niveau des connexions à la source (bleu, magenta).

Si l'on applique le modèle de champ de base de la grille et Hartmann-Curry-grille, la classification suivante peut être faite:

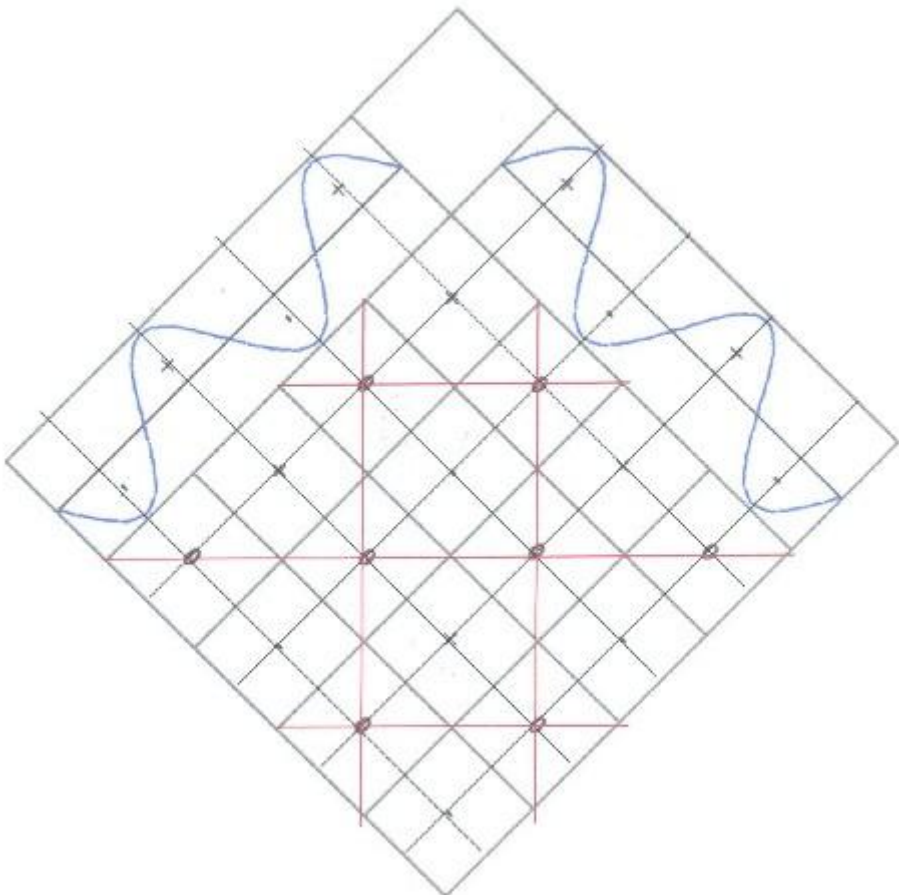
La Hartmann-réseau appartient aux domaines de base
Le Curry-grille se situe dans la plaine des oscillations de base

Cela permet l'approche suivante: Les mensonges net de curry dans le niveau des oscillations de base et la Benkergitter est généré par le filet de curry. L'approche se produit d'abord dans une plaine euclidienne. Lieu de l'examen est l'intersection des deux niveaux d'oscillation de production.



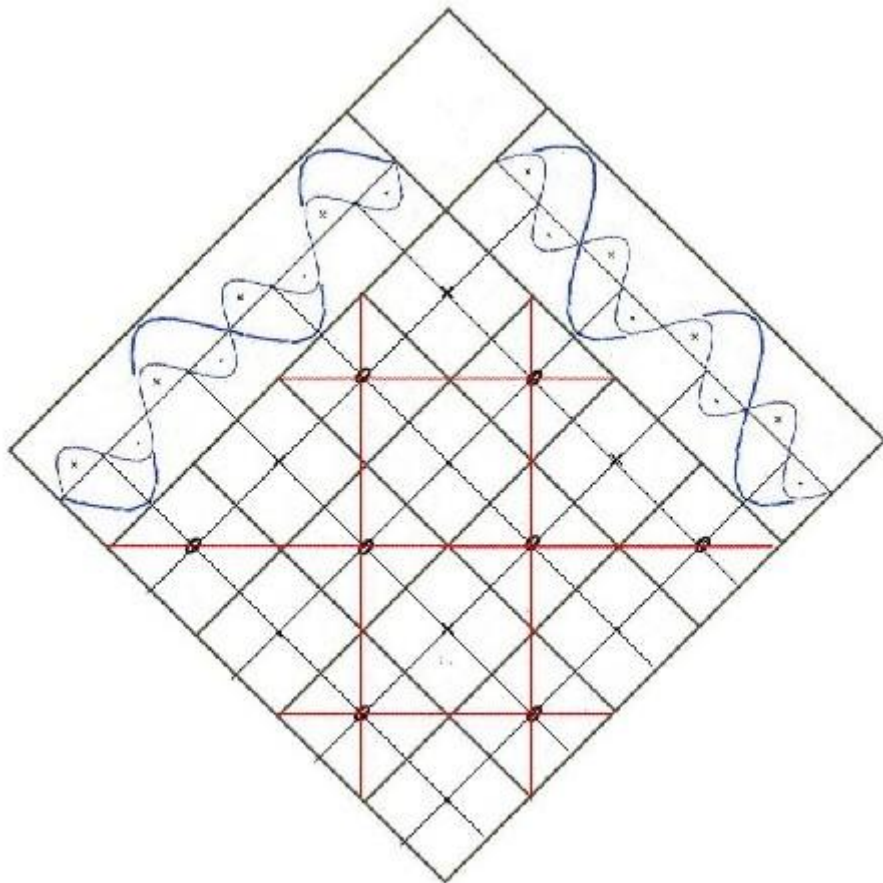
Le point de départ est la multiplication de deux oscillations après le chapitre 5.4. Par ailleurs, la grille rouge générée doit montrer la **Benkersystem**. La grille Benker est générée par les (bleus) **des oscillations de base**. Il vaut la peine:

1 oscillation de base = 1 Benker diagonale



Avec l'arrangement idéal **filet de curry** se pose si la grille disponible zéro est réduit de moitié. Ensuite, il convient de (localement manière restreinte):

1 Benker diagonale = 4 Curry



Réduction de moitié de la grille de zéro signifie que le **deux** oscillation de base, de sorte que la première vague supérieure

Le filet de curry est la grille zéro de la première vague supérieure

Avec un agencement idéal dans une plaine euclidienne entre le coin curry net et Benkersystem se pose toujours à 45 degrés. Il est encore à considérer que l'ensemble de production de grille sur une surface de la bille a lieu. Le coin n'est pas stable, il entre au curry net et Benkersystem, mais est variable. Tous ensemble à partir de l'emplacement géographique dépendant. Ainsi, sur une surface de la bille carrefour Benker existent qui ne le font pas plus effondrement au carrefour de curry.

Le filet de curry est le système de génération d'oscillation

Le filet de curry est la grille zéro de la première vague supérieure de l'oscillation de base La grille Benker est générée par l'oscillation de base 1 oscillation de base = 1 Benker diagonale = 4 Curry

11.2 - structure de base de la coque et l'oscillation de la Terre

Comme déjà dans [le chapitre 7.2](#) mentionné, les mesures qui ont conduit à la découverte des sferics ont eu lieu entre 1978 et 1979 à Pfaffenhofen à l'Ilm. La fréquence de base de la Sferics est déclarée avec **f = 4150,84** hertz. Cette valeur peut être utilisée pour faire un **calcul de retour** pour le **rayon de la terre** . L'équation de base pour les fréquences de la terre est:

$$f = \frac{c}{4R \cdot \sin \frac{\pi}{2n}}$$

Changer après prouve R:

$$R = \frac{c}{4f \cdot \sin \frac{\pi}{2n}}$$

Pour $n = 1$, l'équation générale pour le rayon de la terre est:

$$R = \frac{c}{4f}$$

Il est encore à prendre en considération le fait que la fréquence de 4,150.84 Sferic hertz est la $11,2^5 = 352$ -multiple de la fréquence de base.

La fréquence de terre de base f_0 s'élève à 11,79215909 Hz

Avec $c = 299792458$ m / s à la vitesse de la lumière se pose pour le rayon: **$R = 6355758.426$ m = L_0**
A partir de maintenant sur ce rayon L_0 est appelé: **rayon de la coque de base**

Avec cette structure de l'oscillation peut être définie pour la terre:

la structure d'oscillation de la Terre = somme de tous les réseaux possibles de l'espace sur la coque de base

11.2.1 - L'bande formant des lignes de la grille

Maintenant, les différences sont formées entre les données provenant d'un système de référence géodésique et du rayon calculé. (La coque de base)

Les données de la géodésique WGS84 système de référence sont:

Pôle rayon: 6356752 m
équateur rayon: 6378137 m

Si on forme maintenant les différences dans la situation suivante se pose: un rayon de pôle - rayon de la coque de base = 993 m (environ 1 km) de rayon de l'équateur - rayon de la coque de base = 22 378 m (environ 20 km)

La coque de base sur ce que les lignes de zéro et les valeurs extrêmes se trouvent, est comprise entre une et vingt kilomètres sous la surface de la Terre

Et donc une tentative est donnée pour expliquer la bande formant dans les grilles. Causés par l'état stationnaire, proviennent fronts maximaux sauf fronts également minimum et zéro fronts qui se propagent sphérique autour des points de source, et la construction des intervalles réguliers. Étant donné que le rayon de la coque de base est plus petite que la surface de la terre, de manière à apparaître à la surface, mais pas de lignes **de rayures** . L'image suivante illustre 11.2 l'origine des rayures sur la surface de la terre.

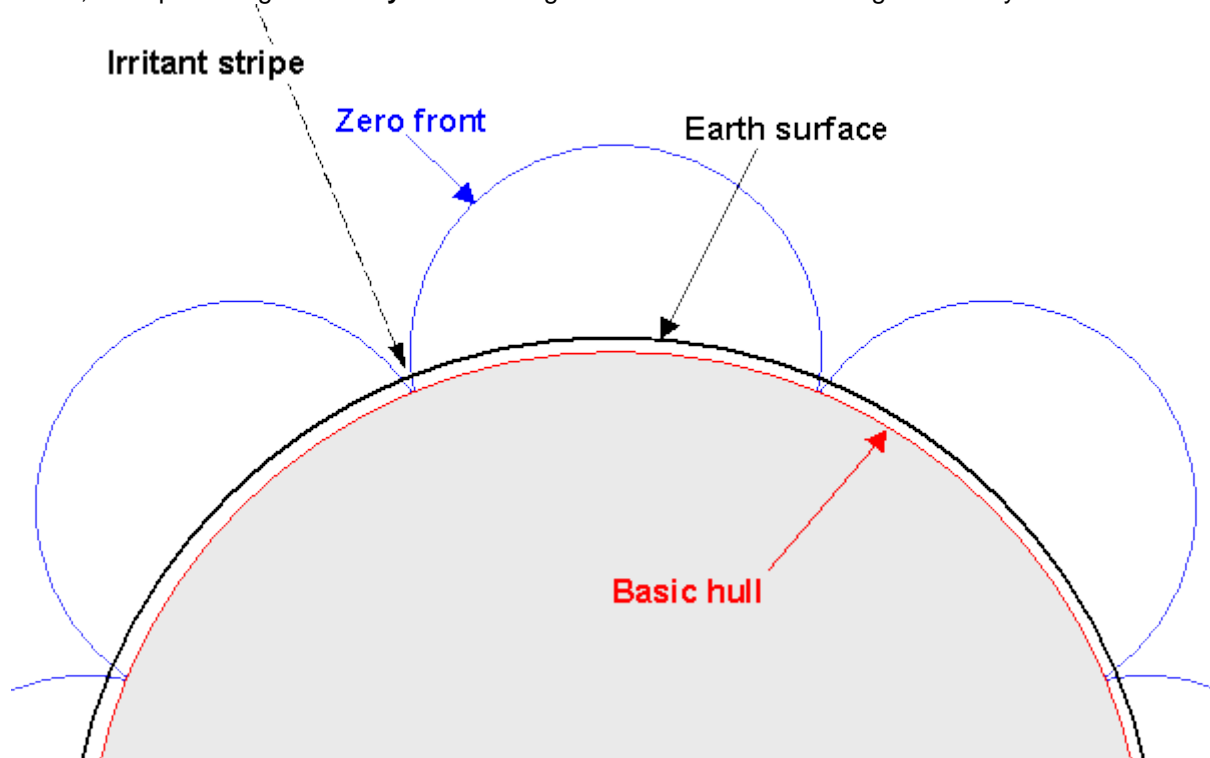


Illustration 11.2 - La bande formant par les oscillations de base

Par conséquent, les rayures irritants établir des zones de diminution de l'intensité, donc pas de zéro réel zones. Par conséquent se pose qu'une partie des bandes irritants, ne sont pas constantes dans leur largeur, vu à l'échelle mondiale. Les bandes qui forment pratiquement les méridiens du système d'oscillation ont leur plus grande largeur dans la "équateur" et se rétrécissent toujours les «pôles». Simplement les bandes qui forment les cercles de latitude du système d'oscillation, disposent d'une largeur constante.

11.3 - Pour le cube-System Benker

Dans le même temps une tentative qui peut expliquer le système Benker-cube pose par les composantes radiales des champs de base. 11,3 Dans l'illustration de la situation d'oscillation est représenté dans la section transversale et à une fréquence. Du point source **P** sortir, il se produisait, après le principe de Huygens, autour de chaque point source cercles concentriques de minimum (cercles rouges) ou zones maximum (cercles bleus). Parce que l'état d'équilibre est constitué, les fronts d'onde sont fixés dans leur position spatiale.

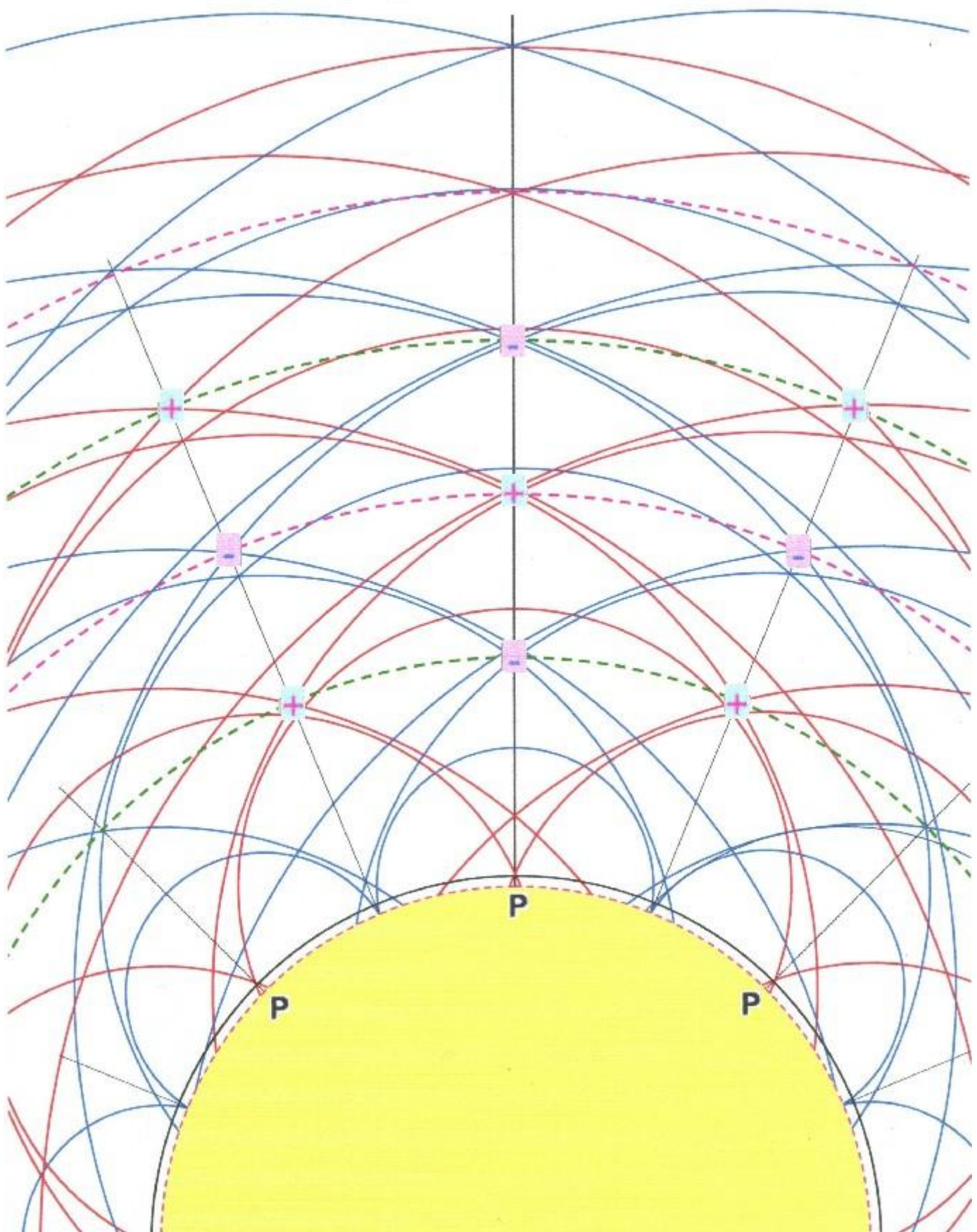
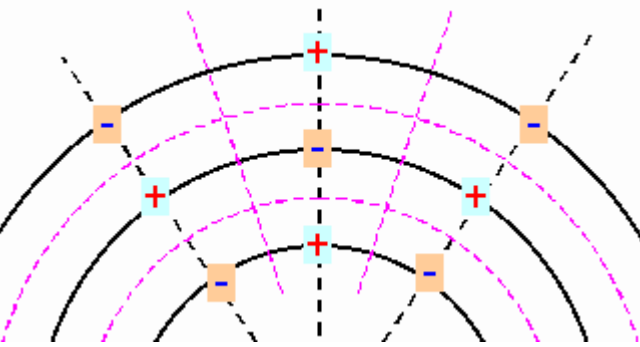


Illustration 11.3 - Interférences des oscillations de base

Oscillation maxima (avec en plus marquée) et minima (avec moins marquée) proviennent de l'interférence des différents fronts d'onde, en effet, où plusieurs fronts d'ondes établissent une intersection respectivement une zone de concentration. Le mensonge oscillation extrema donc entraîné à nouveau sur les surfaces à billes (cercles en pointillés) qui concentriquement coque la terre. Il est à noter que la configuration symétrique se pose. Il provient d'une structure de grille spatiale de points extrêmes qui remplit l'espace autour de la terre totalement. Toutes les zones de plus et moins suivent en alternance sur l'autre. Sur les maxima de coques sphériques entraîné et minima se pose. Et comme les champs de base (voir [chapitre 5.5](#)), il proviennent en plus les lignes zéro zéro accompagnant les fronts respectifs.



Les coques simples (champs de base) sont des phases-déplacés à l'autre autour de 180 degrés. - Et pour cette raison peuvent provenir entre les valeurs extrêmes maintenant, en vertical (radial), ainsi que dans la direction tangentielle, entiers **zéro surfaces**. (Magenta)

Illustration 11.4 - oscillations de la grille radiale spatiales

Ces zéro surfaces forment les parois d'un système d'oscillation en forme de grille et que les valeurs extrêmes sont **en forme de point** dans le centre de l', dans chaque cas bossage enrobant. Pour voir de même que dans la figure 11.4, le système de cube terme n'est pas tout à fait correcte.

Le système de cube Benker est un système d'oscillation radiale spatiale avec une structure de grille

En outre, les surfaces de sol et couvertures sont pliés - il s'agit des parties des coques sphériques potentiels. Et les parois latérales sont, en raison de l'ajustement radial, également non parallèle à l'autre. L'ensemble peut être appelée uniquement dans une **première approximation** système de cube. suite **tous les champs magnétiques de surface doivent être compris comme les parties du système complet d'oscillation spatiale**, car ils sont inclus en tant que couche d'oscillation respective dans l'ensemble.

Tout semble ainsi que les champs de base (Hartmann-grille) et le système d'oscillation en forme de grille radiale (Benker système de cube) montrent non seulement les deux faces différentes d'un même phénomène, mais même se causent mutuellement.

11.4 - grilles nets globaux (GNG)

couches d'oscillation proviennent de l'interférence des ondes magnétiques avec une certaine fréquence production de systèmes de réseaux appropriés comme états stables. C'est à dire cependant plusieurs systèmes de réseau peuvent être formés ici qui diffèrent seulement par leur fréquence ou leurs relations de division.

Grilles nets globaux sont stables états d'oscillation spatiale du champ magnétique de la terre grilles nets globaux sont liés à une certaine fréquence

Parce que tous ces réseaux sont basés sur un nombre limité entiers, alors voici il vient aussi à plusieurs relations de division. En pratique, cela signifie que plusieurs grilles, à distances régulières peuvent se chevaucher, dans les bandes irritants. (Zéro zones)

**Avec donc le modèle dérivé correspond
aux déclarations faites dans la radiesthésie
sur grille net global**

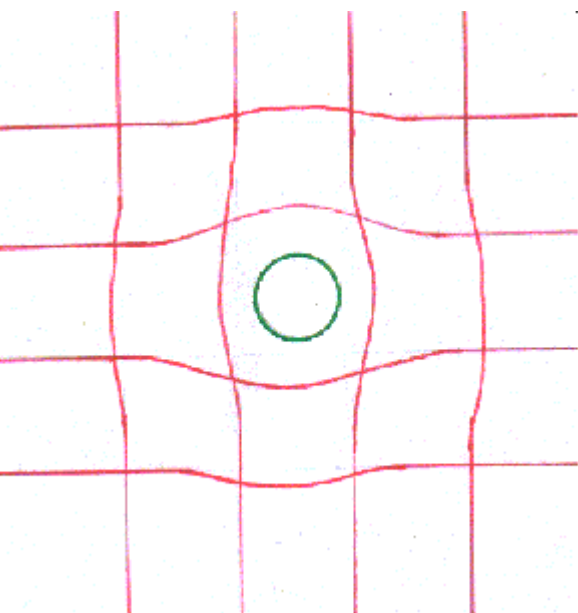
ici doit être souligné une fois de plus sur le fait que d'une grille carrée complète sur une sphère ne peut être réalisé. Vraiment, il n'existe que des systèmes d'oscillation qui sont formés comme le système de quadrillage géographique. Il existe toujours deux pôles (qui ne sont pas nécessairement identiques avec les Polonais géographiques). L'accompagnement dans chaque cas "méridiens" et "parallèles" établir un système de grille.

De il en résulte également que les cases de la grille sont vraiment carré, mais uniquement la "équateur" du système d'oscillation. Ceux-ci deviennent des pôles de plus en plus des rectangles ou losanges et, en fin de compte, à l'un des pôles trouve triangles.

11.4.1 - Déplacement de bandes irritants

(Supplément au colloque pour la géobiologie 29.06.-01.07.2007 à Waldbrunn)

Dans la pratique radiesthésian existe une ligne d'observations qui concernent le phénomène de déplacement local ou régional durable par des bandes irritants . Le modèle de réseau dit le texte suivant:



Objets souterrains (ressources minérales, des rejets (licenciements), bulles de magma) peuvent entraîner localement ou au niveau régional à un déplacement des bandes irritants. Chaque objet a plus capacitive (plastique, terre) et / ou inductif (métaux) qualités. Cela peut conduire à une distorsion locale ou régionale de la grille.

Dans la pratique radiesthésian exister une rangée d'observations qui concernent le phénomène d'un déplacement temporaire par des bandes irritants .

Le modèle de grille admet ici l'explication suivante:

Le système de grille dans l'espace radial origine comme une interférence ou en tant que somme de toutes les oscillations de base - est donc un **système d'oscillation** .

Du exprimée physiquement: l'ensemble du système de grille magnétique est un **oscillateur harmonique** . Strictement parlant un **oscillateur harmonique amorti** .

Par ailleurs, les murs de la grille sont à examiner pas aussi rigide, mais à voir par la base d'oscillation plutôt que **les Etats oscillation énergiques** . Et ils sont donc également **variable dans certaines limites étroites** .

La conséquence est la suivante: le système de grille peut produire lui-même dans de petites oscillations qui s'expriment alors par un changement de position des bandes d'irritants. En outre, les rayures irritants balancer çà et là. Ceci s'applique dans le nord-sud direction ainsi que dans l'est-ouest direction. Cependant, ces oscillations seraient normalement doivent être si petites qu'elles sont négligeable.

Outre une pulsation de lumière de l'ensemble du système est également envisageable et donc une pulsation de lumière (dans la

largeur) des bandes irritants est donnée.

Maintenant, cependant, **trois** cas devraient apparaître avec temporairement reconnue par de plus grands écarts des rayures irritants.

Dans le premier cas peut apparaître une **déformation** des bandes irritants induites par des processus géologiques. Les couches géologiques sont connectés avec des couches magnétiques (voir [chapitre 13](#)) et les effets géologiques locales, comme un petit mouvement des plaques tectoniques respectivement les parties de la plaque, peut posséder un (elektro) équivalent magnétique. Et ces événements électromagnétiques peuvent fausser, tant que le processus géologique dure, le système de grille **local** ou apporter également oscillation. Je

Dans le second cas peuvent apparaître, par l'influence solaire, un **mondiale** oscillation des bandes irritants. Parce que aussi les couches atmosphériques sont connectés avec des couches magnétiques (voir [chapitre 14](#)), par exemple, les tempêtes solaires s'ils **trappent** sur la magnétosphère peut apporter l'ensemble du système de grille en oscillation ou conduire à un déplacement temporaire des rayures irritants.

Dans le troisième cas peut apparaître un décalage temporaire des rayures irritants provoqués par **tomber** de l'influence solaire, par exemple avec une obscurité solaire.

Dans les trois cas la largeur d'oscillation de 1 mètre peut absolument apparaître.

Voici ce qui doit être pris en considération:

Les éléments de production réels du champ magnétique de la terre sont courants magmatiques à environ 2900 km de profondeur. Ces cours d'eau sont trop paresseux pour être altérée trop fortement autour des événements géologiques ou solaires à court terme. Par conséquent, le champ magnétique de la terre et par conséquent également avec le système de grille magnétique possède une certaine inertie. Et cette inertie agit contre toutes les influences extérieures. Par conséquent, on peut comprendre le système de grille magnétique aussi comme un **oscillateur harmonique amorti**.

En outre, le système se comporte comme dans la soi-disant «cas apériodique de frontière». La fréquence de résonance et la partie de friction de l'oscillateur garder, à cette occasion, à la balance. Par conséquent, il s'agit d'un effet externe sur l'oscillateur à une réaction unique, sous la forme d'un seul coup. Ensuite, le système revient lentement à nouveau dans son état de repos.

11.5 - Un rapport à la fréquence de terre

Avec les données de longueur de la grille Hartmann ou le système de cube Benker et le modèle de base de champ d'un calcul est possible avec laquelle le afférent **fréquence du réseau** peut être déterminé.

L'grille Hartmann a environ 2,5 mètre de l'expansion dans la direction est-ouest. Quatre champs Hartmann s'inscrivent dans un cube Benker, de sorte que la longueur de pose d'un cube de 10 mètres.

Cependant, selon le modèle de champ de base ([chapitre 5](#)) deux cubes (une positive et une négative) génèrent une oscillation. Pour la longueur d'onde se pose de 20 mètres.

C'est encore à considérer que les longueurs utilisées sont couverts à l'espace nord-européen ou allemand. En moyenne, le 51 degré de latitude a été accepté ici. Pour la conversion au niveau de l'équateur de la distance donnée doit être divisée par le cosinus de la latitude. Ainsi naît la longueur d'onde d'une taille de 31,78 mètres à l'équateur. Pour le reste, 2513189 cubes correspondent donc autour de la terre, couverte de le rayon de couverture de base.

L'lien général entre la longueur d'onde et la fréquence est définie par: et la suivante $f \cdot \lambda = c$.

avec $\lambda = 31,78$ m l'un reçoit la fréquence d'accompagnement:

$$f = 9433368.722 \text{ Hz.}$$

Si l'on examine la fréquence trouvée avec la fréquence de terre $f_0 = 11,79215909$ hertz du chapitre 11.2 concernant les relations de la division, une décomposition de facteur premier étonnamment facile se trouve:

$$11792 \cdot 2^8 \cdot 5^5 = 11\,792 \cdot 800\,000 = 9433600$$

En général peut être tiré du fait que les **systèmes Benker-cube** balançoires dans une réponse en fréquence de **9433 - 9434 MHz**. L'

grille Hartmann a la fréquence quatre fois, donc **37 732 - 37 736** MHz dans le sens est-ouest. Dans le sens nord-sud cinq champs Hartmann tenir dans un cube Benker. Ainsi, toujours la réponse en fréquence **47 165 - 47,17** MHz apparaît avec la **grille Hartmann** .
partir il se pose:

Grille Hartmann et Benker système de cube se situent par rapport à la fréquence de terre

11.6 - Les points du champ de la terre d'origine

Si l'on applique le modèle de champ de base de [chapitre 5](#) de la grille et Hartmann-Curry-grille, la grille Hartmann-appartient aux domaines de base. Après que le modèle de base des oscillations se situent en diagonale vers le système de grille générée. Par conséquent, le Curry-grille se trouve dans la plaine des oscillations de base.

Si l'on regarde maintenant à un champ Hartmann avec deux diagonales Curry si on peut construire - par l'allongement des diagonales - sur une sphère deux cercles, verticalement sur l'autre. Voir en plus l'image 11.5. Maintenant, cependant, peut être pris, géométriquement comment physiquement, chacun de ces milieux à la fois comme un méridien de base d'un système d'oscillation. Et de lui entraîner deux systèmes d'oscillation. Qu'est-ce que pour un système méridien principal est pour l'autre système de l'équateur. **Et les deux systèmes doit harmoniser la fréquence et de phase** .

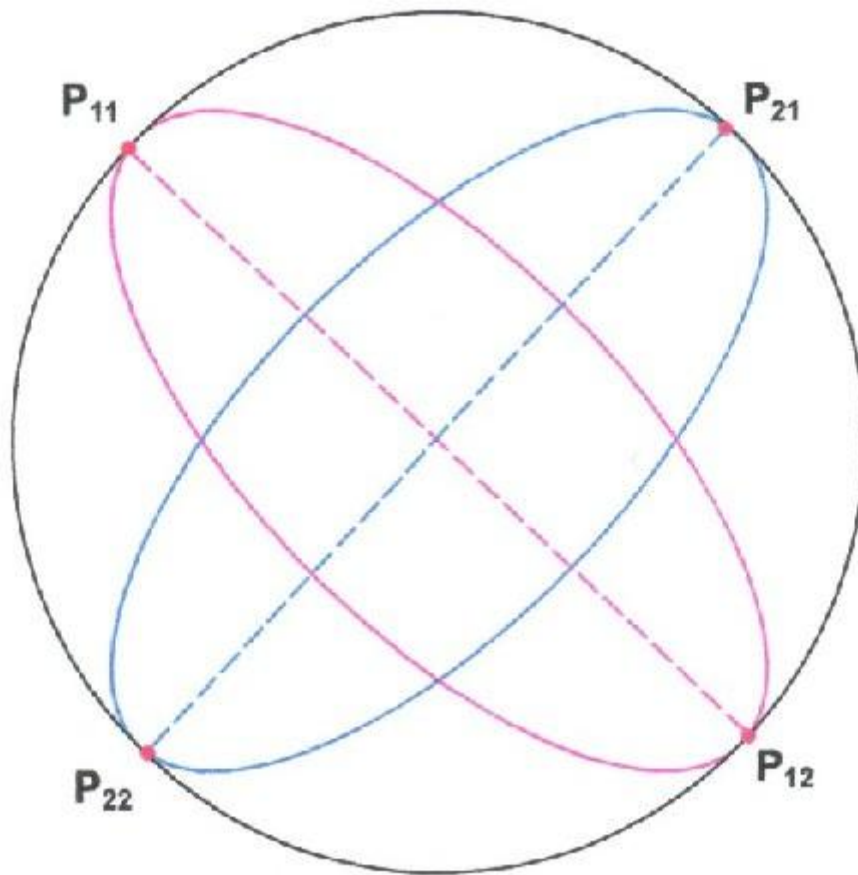


Illustration 11.5 - Deux systèmes d'oscillation avec quatre pôles

Il forment un total de **quatre pôles**. Il provient de l'hémisphère nord, les pôles les P_{11} et P_{21} . Sur l'hémisphère sud, il provient des pôles d'accompagnement P_{12} et P_{22} . Ensuite, pour des raisons symétriques tous les pôles se situent sur ± 45 degrés de latitude. Si l'on regarde l'ensemble du champ de [chapitre 2](#), en plus, il ya vraiment quatre zones extrêmes: le maximum de nord, la grande anomalie, le maximum de sud et le minimum. L'existence de la grande anomalie côté le maximum de nord confirme ici l'existence de deux systèmes d'oscillation. La conséquence est la suivante:

Il existe deux systèmes d'oscillation de base (Curry-grilles)
Les deux systèmes d'oscillation se chevauchent mutuellement, car ils tiennent verticalement sur l'autre

Le dos magnétique dans l'Arctique fournit ici une autre indication qui provient de l'addition de la zonal avec la partie sektoral du champ terrestre. Le dos magnétique montre la zone maximale de la ZS de base sur le terrain. (Compare [chapitre 9.7](#)) Et c'est aussi le lien direct entre les deux pôles Nord. Si on allonge cet égard, le cercle plein noir de la photo 11,5 pose. Les deux systèmes d'oscillation ont **en commun** ce cercle. Par conséquent, une **méridienne principale** de l'ensemble du système en place ici. Et c'est précisément la zone maximale de la ZS base de champ. Le méridien principal réside avec **Lambda = -83,5 degrés de l'ouest** et **Lambda = 96,5 degrés de l'est** et est identique à la zone maximale de la grille ZS (respectivement la partie la sektoral de domaine).

L'existence d'un minimum magnétique admet même encore une autre conclusion: À propos de l'axe nord maximale - maximum de sud (P_{11} und P_{12}) un système avec des oscillations droites a été établi. Cela signifie que dans les deux Polonais oscillation **maxima** sont formés. propos de l'axe grande anomalie - minimum (P_{21} und P_{22}) d'un système de vibrations étranges a été établi. De ce fait résulte que, dans l'un des pôles d'une oscillation maximale est basée et à l'extrémité opposée d'une des règles minimales. **Ainsi donc trois maxima et un minimum proviennent de la somme de formage des deux systèmes.**

En ce qui concerne la structure d'oscillation, il n'y a que trois possibilités:

Dans le premier cas exister **deux oscillations de base droites** - alors il provenir **quatre maxima** .

Dans le second cas, il apparaît **une étrange et une oscillation droite** - alors il provenir **3 maxima et un minimum** .

Dans le troisième cas exister **deux oscillations de base impaires** - alors il sont originaires **deux maxima et deux minima** .

11.7 - La détermination des points de source

Dans le [chapitre 10.2](#) pourrait être démontré que les valeurs extrêmes quasi-totalité magnétiques - géographiquement selon longueur vu ajustement dans les zones étroites. Pratiquement toutes les valeurs extrêmes sur l'hémisphère nord se laissent accueillir dans une zone de 55-90 à l'ouest ou à l'est 90-125. Les valeurs extrêmes sur l'hémisphère sud peuvent être disposés dans une zone de 25-50 à l'ouest ou à l'est 130-155. En outre, la zone de l'hémisphère nord est différente de l'hémisphère sud. La zone extrême sur l'hémisphère nord est décalé d'environ 35-40 degrés par rapport à la zone extrême sud.

Cela permet à l'supposons que les deux axes pôle des systèmes d'oscillation se trouvent vraiment pas dans un niveau comment dans l'illustration 11.5 sont représentés, mais sont décalés mutuellement . Avec elle, l'axe des pôles aussi ne fonctionnent pas par le centre de la terre.

Comme on peut supposer que quatre pôles sont incluses dans les domaines des valeurs extrêmes comme introduites dans le [chapitre 10.2](#) . Avec cela, les coordonnées des points de la terre de champ de source peuvent être trouvés: I

zones de points de source pour le système d'oscillation 1

Nom	Breite	Durée
Nord-maximale	45 ° Nord	-55 ° bis 90 ° Ouest
Sud-maximale	-45 ° Süd	130 ° bis 155 ° Ost

zones de points de source pour le système d'oscillation 2

Nom	Breite	Durée
Grande Anomalie	45 ° Nord	90 bis 125 ° Ost
Minimum	-45 ° Süd	-25 ° bis 50 ° Ouest

En **moyenne, formant** des zones de longueur, les coordonnées des points de source sont déterminables:

Coordonnées des points de base pour le système d'oscillation 1

Nom	Breite	Durée
Nord-maximale	45 ° Nord	- 72,5 ° Ouest
Sud-maximale	-45 ° Süd	+ 142,5 ° Ost

Coordonnées des points de base pour le système d'oscillation 2

Nom	Breite	Durée
Grande Anomalie	45 ° Nord	+ 107,5 ° Ost
Minimum	-45 ° Süd	- 37,5 ° Ouest

Le modèle de champ de base et le principe de Huygens ([chapitre 5](#)) présumés, que ces quatre pôles sont les théoriques **points sources** qui permettent de construire l' **ensemble du champ magnétique externe de la terre** .

11.8 - Le B-Grid

si l'on met en bas maintenant tous extrema et les points magnétiques sur toute une carte de l'intensité complète, illustration 11.6 se pose:

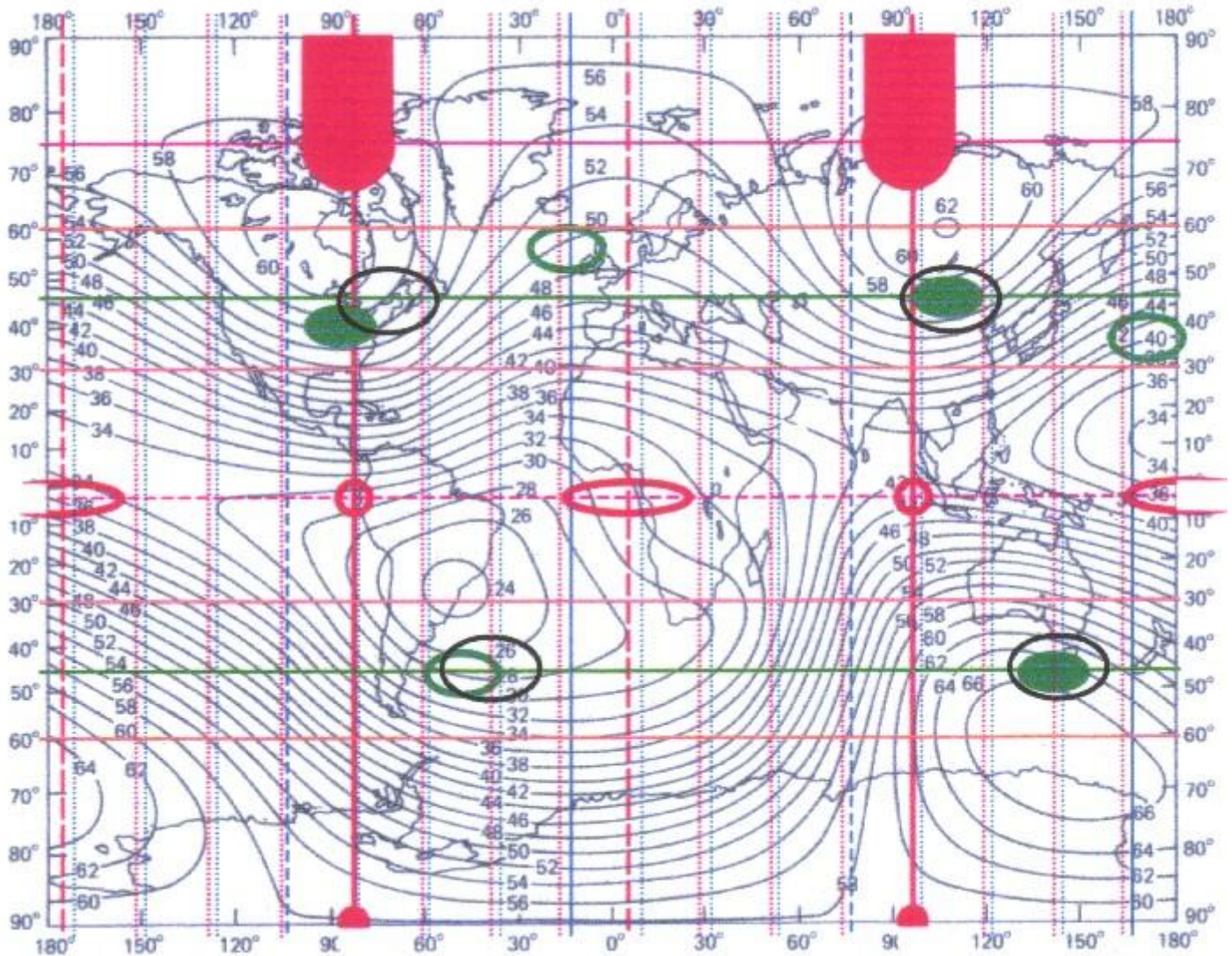


Illustration 11.6 - Toutes les valeurs extrêmes magnétiques trouvés et les points

Les lignes bleues indiquent l'axe d'un ellipsoïde à trois essieux, avec une division de 45 degrés. La ZS de base de champ apparaît en rouge. All Green décrit le champ tesseraux. Et les marques noires contiennent les zones de points de source.

La correspondance des zones ponctuelles de la source avec les quatre extrema principale du champ tesseraux est frappant

Les extrema de tesseraux sont des descendants de la Fourieranalysis du chapitre 8 à 10, tandis que les zones de points de source ont été remportées par une évaluation de la longueur géographique de tous les extrema magnétique dans le chapitre 10. Parce que le domaine tesseraux existe des réseaux, les points de source (comme une somme) sont incluses dans les structures de réseau.

Eh bien la méridienne principale de l'ensemble du système, de sorte que la zone maximale de la ZS de domaine de base ou la partie sektorial de domaine est aussi d'être reconnu avec $\lambda = -83,5$ degrés de l'ouest et $\lambda = 96,5$ degrés de l'est.

Sur l'hémisphère nord sont méridien principal (et avec lui également la ZS de champ de base) en phase avec les valeurs extrêmes tesseraux et les zones de point de source.

Sur l'hémisphère sud, les valeurs extrêmes tesseraux ou les zones de points de source sont décalées d'environ 20 degrés par rapport au méridien principal. Qu'est-ce que fournit une pointe sur le fait qu'il ya dans la structure de la terre interne un «facteur de l'esturgeon» qui faussent la construction d'un champ mathématique pure.

Si l'on met en bas maintenant tous magnétiques des lignes extrêmes trouvés avec les zones de points de source sur toute une carte de l'intensité complète, illustration 11.7 ou la grille de B provient de la terre:

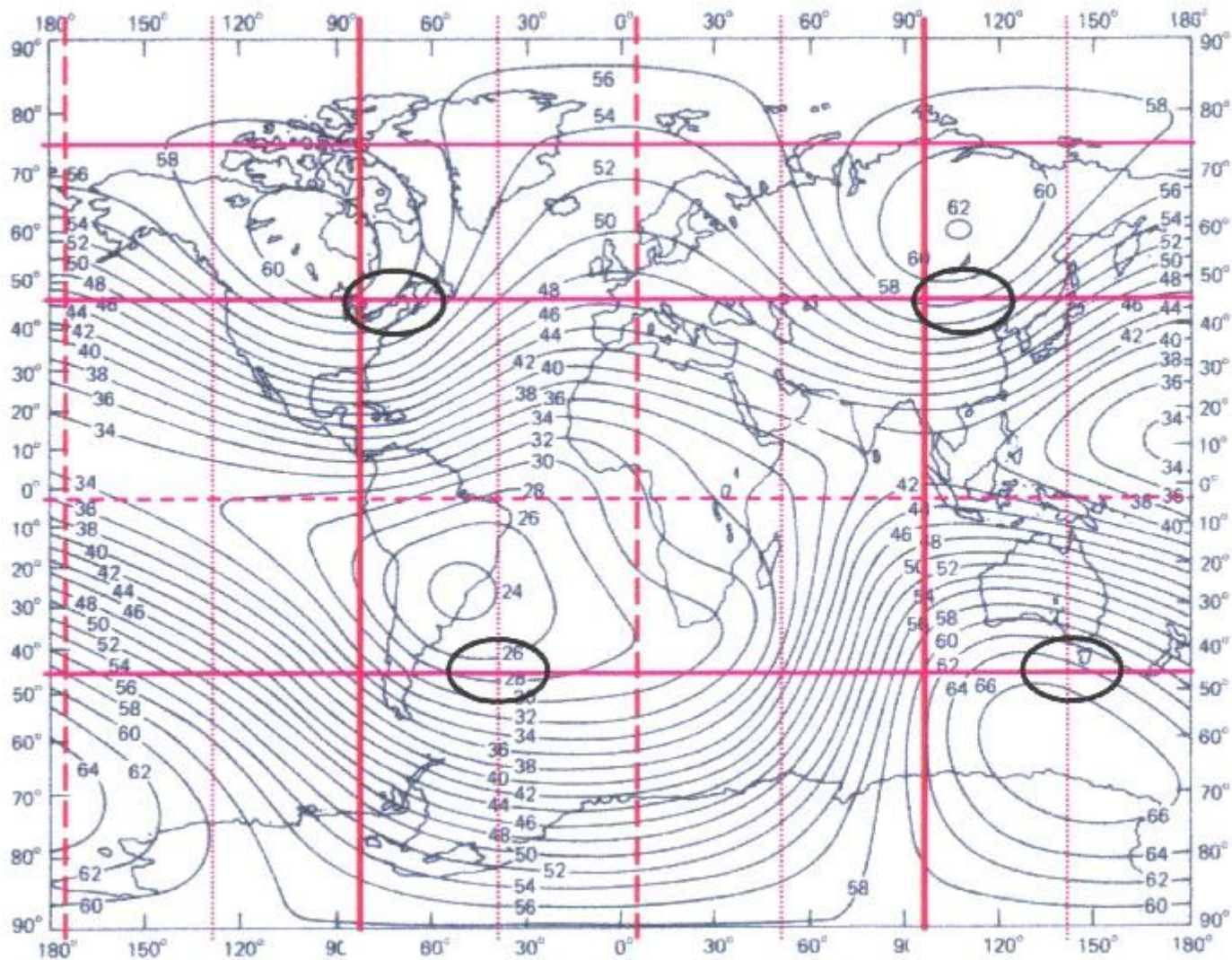


Illustration 11.6 - Le B-grille

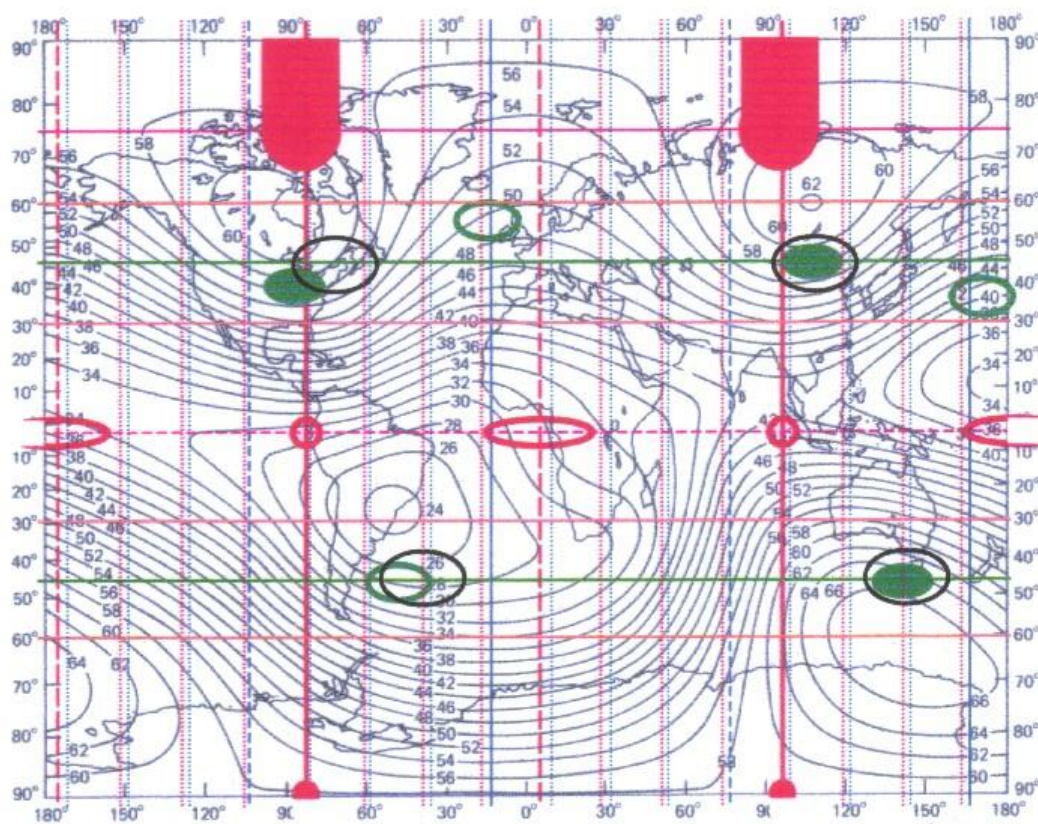
La grille de B contient toutes les informations de toutes les pièces qui apparaissent sur le champ terrestre. Eh bien est de reconnaître

que toutes les zones de point source se trouvent dans la phase de la méridienne principale à 83,5 degrés de l'ouest. Cela signifie que si le facteur d'esturgeon décale le champ de terre à l'intérieur de la terre, toutefois, cela se produit en harmonie pour l'ensemble du champ.

Il existe **deux** possibilités pour affecter les zones de points de source à un corps à l'intérieur de la terre: Soit un **SPAVIN** déformée environ 35-40 degrés avec seulement la moitié des coins est prise, ou un **tétraèdre** déformé environ 35-40 degrés.

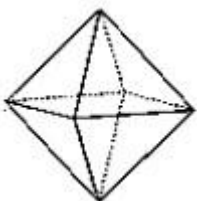
11.9 - Polyhedron

Les pièces uniques de la Fourieranalysis et tous extrema et les points magnétique trouvé permettent une analyse stéréométrique et la représentation de la situation dans son ensemble.



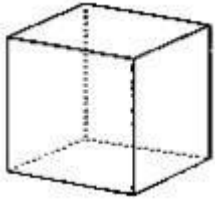
Dans le plan de l'intensité totale de toutes les valeurs extrêmes, les structures magnétiques et des points de source sont réprimées, qui découlent de l'analyse.

Bleu - trois essieux ellipsoïde
 Rouge - zonal, sektaal (grille ZS)
 vert - tesséraux
 points source - Noir

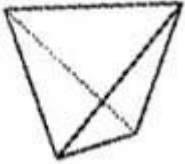


Le système magnétique rouge montre la grille ZS, de sorte que la partie sektorial zonal. Il devient visible que une zone magnétique maximal de retour sur le pôle Nord provient, tandis que dans le pôle Sud en forme de points qu'une seule existe.

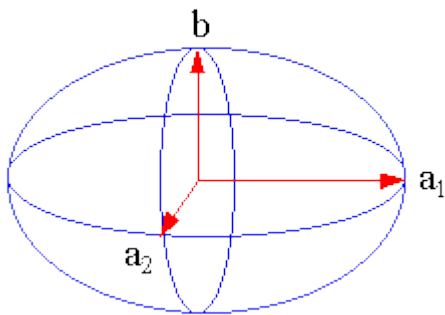
La zone maximale = méridien magnétique principal (épaisse rouge) est bon de reconnaître, à savoir avec et $\lambda = -83,5$ degrés de l'ouest et $\lambda = 96,5$ degrés de l'est. Les zones de minimum (rouge esquissé) se trouvent avec et $\lambda = 5,25$ degrés de l'est et $\lambda = -174,25$ degrés de l'ouest. Dans le niveau équateur, il ya deux zones minimum et deux points de selle. Toutes les zones de valeurs extrêmes sont situés sur les sommets d'un octaèdre



Le système vert représente la partie tesseraux. Toutes les valeurs extrêmes se trouvent à proximité de \pm latitude de 45 degrés. Les points verts indiquent les points maximums ou points minimums de la partie de grille pure du champ magnétique terrestre. Plein vert = maximale, vert encadrée = minimum sur l'hémisphère nord les valeurs extrêmes se trouvent à peu près sur un carré. Un spavin déformée (cube) est étirée selon coordonner dans la terre par la latitude 45 degrés. Les zones extrêmes sur l'hémisphère sud sont décalés d'environ 35-40 degrés en longitude par rapport aux zones les plus septentrionales.



Les ellipses à bordure noir sont les points de l'ensemble du domaine source. Le champ ou une grille modèle de base et du principe de Huygens présumé, montrent que ces quatre pôles des points de source théoriques à partir de laquelle l'ensemble du champ magnétique extérieur permet de s'étirer sur la surface de la terre. des correspondances des zones ponctuelles de la source avec les quatre extrema principal de l' domaine tesseraux. Les points de source sont situés sur les angles d'un tétraèdre. Les sources sur l'hémisphère sud sont décalés d'environ 45 degrés



Avec l'aide de la géodésie par satellite en 1966 par CALundquist et G. Veis a été déterminé les paramètres suivants montrent la terre comme un véritable ellipsoïde à trois essieux: un $a_1 - a_2 = 69$ mètres et $\lambda_0 = -14,75$ degrés de l'ouest La grille d'ellipsoïde bleu oriente à la valeur de Lundquist et Veis est décalée au système magnétique rouge sur 1,25 degrés. Vu à l'échelle mondiale une bonne correspondance doit être déterminée. Le champ magnétique de la terre se situe par rapport à la forme de la Terre

Une analyse des positions géographiques ofall apparaissant extrema magnétique prouve une connexion fonctionnelle pour leur longueur géographique: $\lambda_E = m \cdot 3,75^\circ - 13,5^\circ$ par une division 96e, m est un élément des nombres entiers par la division 96e une différenciation suffisante existe pour contenir tous les coins apparaissent pour polyèdre ou les solides de Platon. Conséquence: